



УДК 681.586.69

**В. А. Пахотин, С. В. Молостова,  
М. А. Никитин, А. С. Чугайнов**

## РАЗРЕШАЮЩАЯ СПОСОБНОСТЬ ОПТИЧЕСКИХ ПРИБОРОВ

*Представлены результаты обработки дифракционных изображений точечных источников методом максимального правдоподобия. Показано, что разрешение двух точечных источников может быть лучше, чем рэлеевского. Представлены результаты модельных расчетов.*

26

*Results of processing of diffraction images of dot sources are presented by a method of the maximum credibility. It is shown that the permission of two dot sources can be better, than the Releevsky permission. Results of modeling calculations are presented.*

**Ключевые слова:** оптические приборы, дифракция, теория оптимального приема, разрешающая способность, критерий Рэлея.

**Key words:** optic instruments, diffraction, theory of optimum reception, resolution capability, Rayleigh criterion.

Разрешающая способность оптических приборов ограничена явлением дифракции света. В ее результате на входном зрачке оптической системы точечный источник света преобразуется в протяженный объект — дифракционное распределение света. Ширина главного максимума определяется известным выражением.

$$\theta \approx 0,61 \frac{\lambda}{R}, \quad (1)$$

где  $\lambda$  — длина волны,  $R$  — радиус входного зрачка оптической системы [1].

При наличии двух точечных источников света, согласно критерию Рэлея, их главные дифракционные максимумы будут наблюдаться раздельно, если угловое различие точечных источников  $\Delta\varphi \geq 0,61\lambda$ . Этим условием определяется разрешающая способность микроскопов, телескопов, глаза человека, т.е. всех оптических приборов, световой поток которых ограничен входным зрачком.

В настоящей работе рассмотрена теория оптических приборов с точки зрения метода максимального правдоподобия [2]. При этом решаются две задачи. Первая связана с оценкой углового положения одного точечного источника света  $\varphi_0$  и его амплитуды по дифракционному распределению поля при известных значениях радиуса отверстия и длины волны. Определяется также дисперсия параметра  $\varphi_0$ . Во второй задаче оценивается угловое различие между двумя точечными источниками света и их амплитуды по дифракционному распределению светового поля. Принято, что дифракционные распределения света от разных источников складываются аддитивно, без учета фазовых зависимостей.



Рассмотрим явление дифракции точечного источника света на круглом отверстии радиуса  $R$ . Длина волны светового потока равна  $\lambda$ . В этом случае напряженность светового поля в зависимости от угла дифракции  $q$  определяется известным соотношением

$$U(q) = U_0 \frac{2J_1(kR \sin(q - q_0))}{(kR \sin(q - q_0))} + U_w(q), \quad (2)$$

где  $U_0$  – амплитуда напряженности поля,  $q_0 = j_0$  – угловое положение точечного источника света,  $J_1(kR \sin(q - q_0))$  – функция Бесселя первого порядка,  $U_w(q)$  – шумовая добавка, которая характеризуется нормальным распределением с дисперсией  $S^2$  и средним значением, равным нулю [1]. Запишем на основании выражения (2) логарифм функции правдоподобия [2]:

$$\ln(L(\theta'_0, U'_0)) = -\frac{1}{2\sigma^2\tau_k} \int_{-\tau}^{\tau} \left| U(\theta) - U_0 \frac{2J_1(kR \sin(\theta - \theta'_0))}{(kR \sin(\theta - \theta'_0))} \right|^2 d\theta. \quad (3)$$

Учитывая, что он является выпуклой функцией, продифференцируем выражение (3) по амплитуде  $U_0$  и приравняем нулю. В результате получим

$$U'_0(\theta'_0) = \frac{\int_{-\tau}^{\tau} U(\theta) f(\theta, \theta'_0) d\theta}{\int_{-\tau}^{\tau} |f(\theta, \theta'_0)|^2 d\theta}, \quad (4)$$

где  $f(\theta, \theta'_0) = \frac{2J_1(kR \sin(\theta - \theta'_0))}{(kR \sin(\theta - \theta'_0))}$ .

Математическое ожидание от решения выражения (4) будет:

$$M(U'_0) = U_0 \frac{\int_{-\tau}^{\tau} f(\theta, \theta_0) f(\theta, \theta'_0) d\theta}{\int_{-\tau}^{\tau} |f(\theta, \theta'_0)|^2 d\theta}. \quad (5)$$

Оценим дисперсию параметров. Для этого получим двумерную информационную матрицу Фишера по выражению [3].

$$J_{ij} = -M \left( \frac{d(\lg(L(\vec{a})))}{da_i da_j} \right), \quad (6)$$

где  $\vec{a}^{-T} = (U'_0, \theta'_0)$  – вектор параметров сигнала.

В результате двойного дифференцирования логарифма функции правдоподобия, согласно (6), получим информационную матрицу Фишера:

$$\hat{J} = \frac{1}{\sigma^2 \tau_k} \begin{pmatrix} a_{11} & a_{12} \\ a_{21} & a_{22} \end{pmatrix}, \quad (7)$$

где

$$a_{11} = \int_{-\tau}^{\tau} f^2(\theta, \theta'_0) d\theta; \quad a_{12} = a_{21} = \int_{-\tau}^{\tau} f(\theta, \theta'_0) \frac{d(f(\theta, \theta'_0))}{d\theta'_0} d\theta;$$

$$a_{22} = \int_{-\tau}^{\tau} \left( \frac{d(f(\theta, \theta'_0))}{d\theta'_0} \right)^2 d\theta.$$

28

Вычисляя диагональные элементы матрицы, обратной к информационной матрице Фишера, получим дисперсию амплитуды  $D_U$  и дисперсию углового положения точечного источника  $D_q$ .

Точечный источник расположен под углом  $20^\circ$ . Полуширина дифракционного пятна определяется первым нулевым значением и согласно выражению (1) равна  $2,33^\circ$ , что отражено на рисунке 1.

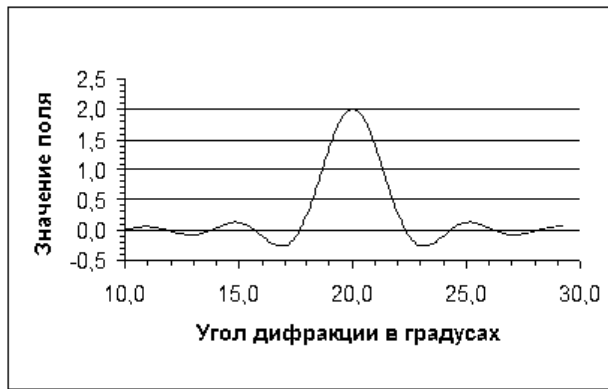


Рис. 1. Зависимость дифракционного распределения света от точечного источника от угла дифракции

На рисунке 2 показана производная функции по углу дифракции. Модуль производной функции часто используется вместо самой функции для более точной оценки углового положения точечного источника по минимуму.

В качестве примера можно привести пеленгационную характеристику при пеленгации разностным методом [2]. Она часто применяется для слежения за пеленгом. Если ввести нормированный коэффициент

корреляции  $r = \frac{a_{12}}{(a_{11} a_{22})}$ , то можно получить дисперсию амплитуды и

дисперсию углового положения точечного источника света в виде

$$D_U = \frac{S^2 t_k}{a_{11} (1 - r^2)}; \quad D_q = \frac{S^2 t_k}{a_{22} (1 - r^2)}. \quad (8)$$

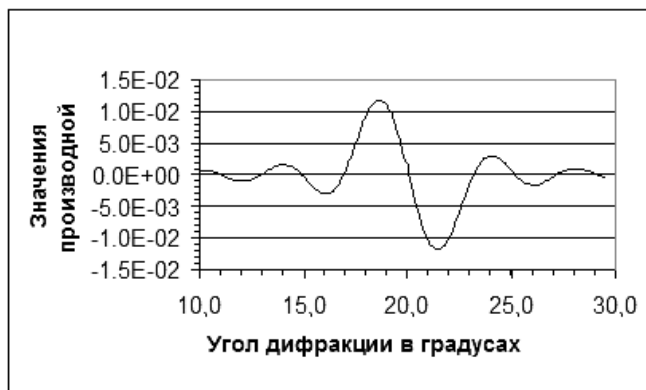


Рис. 2. Производная функции по углу дифракции

По аналогии с сигналами в радиотехнике [2; 3]  $a_{11}$  и  $a_{22}$  имеют смысл обобщенной энергии. Следовательно, дисперсии  $D_U$  и  $D_q$  зависят от отношения «сигнал/шум» и от коэффициента корреляции между функцией и ее производной.

Таким образом, метод максимального правдоподобия позволяет дать оценку углового положения точечного источника света. Эта оценка не зависит от размера дифракционного пятна. Она определяется с точностью, определяемой дисперсией углового положения источника света. Вместо дифракционного пятна (протяженного объекта) в результате данной обработки можно получить точечное изображение, угловое положение которого случайно и характеризуется дисперсией. Эффект дифракции, который можно отождествить с аппаратной функцией оптических приборов, может быть исключен. Контуры протяженных объектов могут быть уточнены до значений дисперсии.

Рассмотрим случай дифракции двух точечных источников света на круглом отверстии радиуса  $R$ . В этом случае распределение света в зависимости от угла дифракции будет представлено в виде суммы двух дифракционных распределений:

$$U(\theta) = U_1 \frac{2J_1(kR \sin(\theta - \theta'_1))}{(kR \sin(\theta - \theta'_1))} + U_2 \frac{2J_1(kR \sin(\theta - \theta'_2))}{(kR \sin(\theta - \theta'_2))} + U_w(\theta), \quad (9)$$

где  $q_1, q_2$  – угловые положения точечных источников света,  $U_1, U_2$  – их амплитудные значения. Обозначим

$$f_1(\theta, \theta'_1) = \frac{2J_1(kR \sin(\theta - \theta'_1))}{(kR \sin(\theta - \theta'_1))}; \quad f_2(\theta, \theta'_2) = \frac{2J_1(kR \sin(\theta - \theta'_2))}{(kR \sin(\theta - \theta'_2))} \quad (10)$$

и запишем логарифм функции правдоподобия на основании (9).

Дифференцируя и приравнявая дифференциалы к нулю, получим систему уравнений.

$$\begin{aligned} \overline{U(\theta) f_1(\theta, \theta'_1)} &= U'_1 \overline{f_1^2(\theta, \theta'_1)} + U'_2 \overline{f_1(\theta, \theta'_1) f_2(\theta, \theta'_2)}, \\ \overline{U(\theta) f_2(\theta, \theta'_2)} &= U'_1 \overline{f_1(\theta, \theta'_1) f_2(\theta, \theta'_2)} + U'_2 \overline{f_2^2(\theta, \theta'_2)}. \end{aligned} \quad (11)$$



Черта сверху означает интегрирование по параметру  $q$ . Решим эту систему:

$$\begin{aligned} U'_1 &= \frac{\overline{U(\theta) f_1(\theta, \theta'_1) f_2^2(\theta, \theta'_2)} - R_1 \overline{U(\theta) f_2(\theta, \theta'_2)}}{\overline{f_1^2(\theta, \theta'_1) f_2^2(\theta, \theta'_2)} - R_1^2}, \\ U'_1 &= \frac{\overline{U(\theta) f_2(\theta, \theta'_2) f_1^2(\theta, \theta'_1)} - R_1 \overline{U(\theta) f_1(\theta, \theta'_1)}}{\overline{f_1^2(\theta, \theta'_1) f_2^2(\theta, \theta'_2)} - R_1^2} \end{aligned} \quad (12)$$

Если угловое различие между дифракционными максимумами удовлетворяет соотношению

$$\Delta\theta = |\theta'_2 - \theta'_1| \geq 0,61 \frac{\lambda}{R}, \quad (13)$$

то коэффициент корреляции близок к нулю и решения уравнения (13) совпадают с классическими решениями:

$$U'_1 = \frac{\overline{U(\theta) f_1(\theta, \theta'_1)}}{\overline{f_1^2(\theta, \theta'_1)}}, U'_2 = \frac{\overline{U(\theta) f_2(\theta, \theta'_2)}}{\overline{f_2^2(\theta, \theta'_2)}}.$$

Если угловое различие меньше, чем определено в условии (13), то, согласно классическим представлениям (критерий Рэлея), светящиеся точки сливаются вместе. Коэффициент корреляции в этом случае будет отличен от нуля. Однако решения (12) и в этом случае дают более точные оценки угловых положений двух светящихся точек. Решения находятся по значению поверхности функционала  $\Delta$  в двумерном пространстве углов  $\theta'_1$  и  $\theta'_2$ . Функционал  $\Delta$  определяется выражением и зависит от амплитуд и угловых положений источников света. Перебирая все значения углов  $\theta'_1$  и  $\theta'_2$ , получим полную поверхность функционала. Минимум этой поверхности определяет решения, т.е. оценочные значения амплитуд  $U'_1$  и  $U'_2$  и углов  $\theta'_1$  и  $\theta'_2$  двух точечных источников. Решения (12) несмещенные. Они учитывают взаимную корреляцию между дифракционными максимумами двух светящихся точек и дают более точные значения их угловых положений.

Оценим дисперсии углового положения двух светящихся точек и их амплитудных значений напряженности поля. Для этого дважды продифференцируем логарифм функции правдоподобия. Получим элементы информационной матрицы Фишера:

$$\hat{J} = \frac{1}{\sigma^2 \tau_k} \begin{pmatrix} a_{11} & a_{12} \\ a_{21} & a_{22} \end{pmatrix}, \quad (14)$$

где  $a_{11} = \overline{f_1^2(\theta, \theta'_1)}$ ;  $a_{12} = a_{21} = \overline{f_1(\theta, \theta'_1) f_2(\theta, \theta'_2)} = R1$ ;  $a_{22} = \overline{f_2^2(\theta, \theta'_2)}$ .

Определяя диагональные элементы матрицы, обратной к информационной матрице Фишера, получим дисперсии амплитуд света от первой и второй точек  $D_{U_1}, D_{U_2}$ .



$$D_{U_1} = \frac{a_{1_{22}} S^2 t_k}{a_{1_{11}} a_{1_{22}} - R1^2}, D_{U_2} = \frac{a_{1_{11}} S^2 t_k}{a_{1_{11}} a_{1_{22}} - R1^2}. \quad (15)$$

Аналогично можно получить дисперсии угловых положений светящихся точек  $D_{q_1}, D_{q_2}$ . В этом случае информационная матрица Фишера будет

$$\hat{J}_2 = \frac{1}{\sigma^2 \tau_k} \begin{pmatrix} a_{2_{11}} & a_{2_{12}} \\ a_{2_{21}} & a_{2_{22}} \end{pmatrix},$$

где

$$a_{2_{11}} = U_1'^2 \overline{\left( \frac{df_1(\theta, \theta'_1)}{d\theta'_1} \right)^2}, \quad a_{2_{22}} = U_2'^2 \overline{\left( \frac{df_2(\theta, \theta'_2)}{d\theta'_2} \right)^2},$$

$$a_{2_{12}} = a_{2_{21}} = R2 = U_2' U_1' \overline{\left( \frac{df_1(\theta, \theta'_1)}{d\theta'_1} \frac{df_2(\theta, \theta'_2)}{d\theta'_2} \right)}.$$

Определяя диагональные элементы обратной матрицы, получим

$$D_{\theta_1} = \frac{a_{2_{22}} \sigma^2 \tau_k}{U_1'^2 (a_{1_{11}} a_{1_{22}} - R2^2)}, \quad D_{\theta_2} = \frac{a_{2_{11}} \sigma^2 \tau_k}{U_2'^2 (a_{1_{11}} a_{1_{22}} - R2^2)}.$$

Таким образом, дисперсия угловых положений светящихся точек зависит от отношений «сигнал/шум» и взаимной корреляции дифракционных максимумов. Дисперсии будут минимальны, когда  $R2 = 0$ . Однако, если отношение «сигнал/шум» достаточно большое (более 20 дБ), при приемлемых дисперсиях коэффициент корреляции может достигать значения 0,9 и выше. Это сильно перекрывающиеся дифракционные максимумы.

Предварительные модельные расчеты проведены с целью иллюстрации принципиальной возможности получения более точного решения задачи разрешения двух точечных источников света по их дифракционным изображениям, чем это следует из работы [1]. Принято следующее. Амплитуды напряженности поля от точечных источников света равны 2 и 1,5. Угловое положение первого из них  $20^\circ$ , второго — меняется в пределах от  $26$  до  $21^\circ$ . Отношение «сигнал/шум» равно 30 дБ, радиуса отверстия к длине волны  $R/\lambda = 15$ . Обработка дифракционного распределения поля проводилось согласно классическим представлениям. Это соответствует методу Фурье с рэлеевским ограничением на разрешение двух светящихся точек. Вместе с тем обработка дифракционного распределения поля проводилось и по методу максимального правдоподобия (табл.).

Как видно из таблицы, благодаря методу максимального правдоподобия можно решить данную задачу вплоть до угла  $\varphi_2 = 21,5^\circ$  и, в принципе, эта возможность зависит от отношения «сигнал/шум». Метод Фурье позволяет решить задачу практически лишь до угла  $\varphi_2 = 24^\circ$  вне зависимости от отношения «сигнал/шум».

**Сравнение работы ММП и метода Фурье  
при решении дифракционной задачи**

Модельное, значение, $\varphi_2$	Метод максимального правдоподобия				Метод Фурье			
	$U_1$	$U_2$	$\varphi_1$	$\varphi_2$	$U_1$	$U_2$	$\varphi_1$	$\varphi_2$
26,0	1,97	1,47	20,0	26,0	2,0	1,51	20,0	25,9
25,0	1,97	1,48	20,0	25,0	1,99	1,51	20,0	25,1
24,0	1,97	1,5	20,0	24,0	1,9	1,41	19,9	24,1
23,0	1,97	1,52	20,0	23,0	1,93	—	20,8	—
22,0	1,96	1,52	20,0	22,0	2,67	—	20,8	—
21,5	2,22	1,28	19,9	21,7	2,98	—	20,6	—
21,0	3,03	0,4	19,7	21,9	—	—	—	—

На рисунке 3 показана поверхность обратного функционала  $D = 1/\Delta$ , зависящая от значений углов  $F1 = \theta'_1$  и  $F2 = \theta'_2$ . Максимум обратного функционала определяет решение. По одному максимуму оцениваются одновременно два значения угловых положений светящихся точек. Необходимости введения термина «разрешение (разрешающая способность)» в методе максимального правдоподобия нет. В методе же Фурье каждой светящейся точке соответствует свой максимум и возникает задача их разрешения.

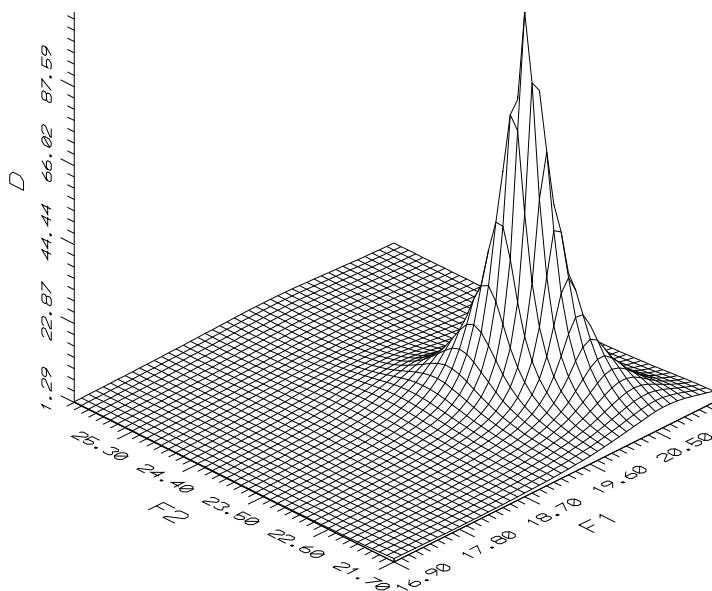


Рис. 3. Вид обратного функционала

В настоящей работе представлено решение задач оценки параметров и разрешения подобных сигналов в области дифракции света на круглом отверстии (входном зрачке оптических приборов). Решения



получены методом максимального правдоподобия. Угловое положение точечного источника света в новом методе решения позволяет исключить дифракционное пятно. Точечный источник преобразуется в точечный со случайным распределением углового положения, которое оценивается дисперсией, а не угловым размером. В результате границы светящихся областей будут определяться с большей точностью.

Разрешающая способность при цифровой обработке дифракционных максимумов, полученных от двух светящихся точек методом максимального правдоподобия, может быть увеличена по сравнению с рэлеевской разрешающей способностью. Ограничение на разрешение точек в новом решении связано с отношением «сигнал/шум». Новое решение задачи углового разрешения двух светящихся точек имеет большое значение для цифровых оптических систем: телескопов, микроскопов.

### Список литературы

1. Сивухин Д. В. Оптика. М., Наука, 1980.
2. Пахотин В. А., Бессонов В. А., Молостова С. В., Власова К. В. Теоретические основы оптимальной обработки сигналов : курс лекций для радиофизических специальностей. Калининград, 2008.
3. Перов А. И. Статистическая теория радиотехнических систем : учебное пособие для вузов. М., 2003.

### Об авторах

Валерий Анатольевич Пахотин — д-р физ.-мат. наук, проф., Балтийский федеральный университет им. И. Канта, Калининград.  
E-mail: VPakhotin@kantiana.ru

Светлана Валерьевна Молостова — канд. физ.-мат. наук, доц., Балтийский федеральный университет им. И. Канта, Калининград.  
E-mail: p\_ksenia@mail.ru

Михаил Анатольевич Никитин — д-р физ.-мат. наук, проф., Балтийский федеральный университет им. И. Канта, Калининград.  
E-mail: MNikitin@kantiana.ru

Александр Сергеевич Чугайнов — асп., Балтийский федеральный университет им. И. Канта, Калининград.  
E-mail: p\_ksenia@mail.ru

### About authors

Valery Pakhotin — Dr, professor, I. Kant Baltic Federal University, Kaliningrad.  
E-mail: VPakhotin@kantiana.ru

Svetlana Molostova — PhD, associate professor, I. Kant Baltic Federal University, Kaliningrad.  
E-mail: p\_ksenia@mail.ru

Mikhail Nikitin — Dr, professor, I. Kant Baltic Federal University, Kaliningrad.  
E-mail: MNikitin@kantiana.ru

Alexander Chygainov — PhD student, I. Kant Baltic Federal University, Kaliningrad.  
E-mail: p\_ksenia@mail.ru